

KNO₂

KNO_2
167.1

Briegman R. W., 1915

Hydrogen

Proc. Amer. Acad. Sci.
1915, 51, 55
p.

6

$KNO_2 (K, R)$

KNO_2 1929

Kristinsons J.

Latvijas Univ. Raksti.

[Acta Univ. Latviens]

Chem. Serie I, 29-38, 1929,

Riga. (Ученая работа по медицине
и химии доктора Ю. Кристинсона.
Коэффициент
связывания анионов X⁻ и Y⁻ в
гидрате щелочей и щелочей со смесью
ионов X⁻ и Y⁻ в гидрате щелочей.)

Ch. Z., I, 2852.

Kp.
диссертации
автора

KNO₂ BP-281-X 1930

Centrausschwe M.,
J. Chim. phys., 1930,
24, 9-28

KNO₂ BGP-1310-X 1933

Lengyel B

(Tm) Naturwissenschaften
1933, 21, 848.

KNO_2 (K)
2088

Dode M.

1936

Леонидов

Compt. rend.,
1936, 203, p. 365

Le-186

KNO_2 (K)

$\Delta_f H^\circ$

$KNO_2(k)$
1724

Bureau J. 1937

Neonugob

Ann. Chim. (Paris),
1937, 8, p. 1

Ne-LZ3

$KNO_2(k)$

$\Delta_f H^\circ$

$KNO_2(k)$
2089

Dode M.

1937

Neosugob

Bull. Soc. Chim. France,
1937, 4, p. 2093

1e-172

$KNO_2(k)$



$\Delta_f H^\circ$

KMO₃

BOP 751-X

1952

Берусев С.И. и др.

Tm; Tcr

Удостоверение
академ. института обн.
и георгиях. химии, 1952, 21,
172-7

P.C.S. Dr.

1955

KNO₂

Rai J. Dag R. S.

J. Phys. Chem., 1956, 60, N°11,
1599-1600.

аналогично

этионий

Молекулярные энтропии
и температура радиус.

2-07-13 - 43988.

KNO_2 (u)
2329

1956

Freeman E.S.

J. Phys. Chem., 1956, 60,
p. 1482

Hexby

Hex - 102



KNO_2 (u)
ML

KNO_2

Бернштейн С.И.

1958

ИСНХ,

3, N10, 2427

Метрополитическое ис-
следование при смешан-
ных р-рах KNO_2 , $NaNO_3$ и
 $NaND_2$.



KNO_2 (k)

93g

1959

Суровин Г.Д.

Мезг

М. Кеоприя. Хиллера,
1959, 4, с. 2558

Мез-101



KNO_2 (u)
Mf

By - 1312 - X

1960

KNO₂

13B7. Получение и термометрический анализ нитрита калия. Ray James D. Potassium nitrite: preparation and thermometric analysis. «J. Inorg. and Nucl. Chem.», 1960, 15, № 3-4, 290—292 (англ.).—Технический нитрит калия (I) обычно содержит до 10% KNO₃ (II). Описан метод очистки продажного I от II при помощи ионообменной смолы амберлит IRA-400 в нитритной форме. Т-ра фазового перехода 1-го рода в I (39,14°) использована в качестве чувствительного индикатора на примеси; она повышается в присутствии II и понижается в присутствии KCl.

Ю. Лопатто

ж. 1961.13

KNO₂(k) профессор Н. Н. Коггров
834 А. А., Мирская 8. 3;¹⁹⁶¹
Бердскский Н. Н.

специалист В. К. С.
ОО. "Северномоззок-
транс" Барнаул.
УН-М, 1961, 21

26

KNO₂(k, k)

KNO_2 (K)
864

Реметников Н.А. 1961

Леонидов

ЭС. неорганс. химия,
1961, № 6, с. 682

1e-177

KNO_2 (K)

$\Delta_f H^\circ$

BP-91-X

1963

KNO₂

(T_{tr})

Thermal transformation of potassium nitrite. F. J. Hazelwood, E. Rhodes, and A. R. Ubbelohde (Imp. Coll., London). *Trans. Faraday Soc.* 59(491), 2612-17(1963). Molar vols. of impure (*I*) and zone-refined (*II*) KNO₂ were detd. dilatometrically. Sample *I* had a transition with hysteresis at 40.5-44° and *II* at 44-51°. Change of vol. of transition was 0.12 cc. The ultraviolet spectrum showed a change in the E₂ max. from 27.7 to 27.5 km. ⁻¹. Percentage transmission at a given frequency showed hysteresis from 39.5 to 43.50° for *I* and 45 to 52° for *II*.

D. Rudd

C.A. 1964. 60.4
3505 h

Φ-B-Z-1313

1963

KWDz

Ray T. D.

18th Calorimetry
Conference, Battelleville
1963.

cy, S288,16

KNO_2

1871

Cleaver B;
Rhodes E.;
Ubbelohde L.

1963

Oppenheimer

Proc. Roy. Soc. ^{London}(B);
1963, V246, p 453

18

KNO_2 (K, de)

KNO_2

ВР - 439-Х

1984

Дроженко Р.И

Шишолина Р.П.

Tm, Tt2

Укр. хим. м.

1964, 30, 912-15

ВР - 6034 - X

1965

KNO₂

2 E261. Возникновение гибридного кристалла при термических превращениях нитрита калия. Ragg G. S., Schuyff A., Ubbelohde A. R. Hybrid crystal formation in thermal transformations of potassium nitrite. «Proc. Roy. Soc.», 1965, A 285, № 1402, 360—369 (англ.)

С помощью специально разработанного микротермостата (точность поддержания т-ры в интервале $30 \div 100^\circ\text{C} \pm 0,1^\circ\text{C}$) проведено рентгенографич. и оптич. исследование фазового превращения в монокристаллах KNO₂ вблизи 40°C . Превращение моноклинной низкотемпературной модификации в (предположительно) кубическую высокотемпературную происходит обратимым образом; между превращениями при охлаждении и нагреве наблюдается температурный гистерезис (порядка $3 \div 4^\circ\text{C}$). В интервале превращения существуют обе фазы.

Ф. 1966. 28

1965

KNO₂

2

2 E260. Фазовое превращение в KNO₂. Tanisaki
 Sigetosi, Ishimatsu Tadashi. Phase transition
 of KNO₂. «J. Phys. Soc. Japan», 1965, 20, № 7, 1277
 (англ.)

С помощью рентгенограмм вращения и колебания исследовалась структура KNO₂ при комнатной и более высоких т-рах. При комнатной т-ре KNO₂ имеет тригональную структуру с параметрами $a=4,455 \text{ \AA}$ и $\alpha=68^\circ 58'$. В элементарной ячейке находится одна молекула KNO₂, группы NO₂ расположены неупорядоченно. При 70° С обнаружено фазовое превращение. Высокотемпературная модификация имеет кубич. структуру типа NaCl с периодом $a=6,71 \text{ \AA}$. Расположение групп NO₂ в высокотемпературной фазе также неупорядочено.

Е. Власова

ф. 1966.28

KNO₂

1965

Phase transition of KNO₂. Sigeotsi Tanisaki and Tadashi Ishimatsu (Univ. Yamaguchi). *J. Phys. Soc. Japan* 20(7), 1277(1965)(Eng). Rotation and oscillation photographs, taken with the [121] and [101] axes vertical, led to the conclusion that the room-temp. phase of KNO₂ is not monoclinic, as reported by Ziegler (*CA* 31, 590^s), but trigonal, with a 4.45 Å, α 68°58', and $Z = 1$. The absence of any superlattice reflections indicates some kind of disordered arrangement of the NO₂ groups. The high-temp. phase (>70°) has a cubic NaCl-type unit cell with a 6.71 Å.

A. P. Mills

C. A. 1965. 63.13
17283 gh

KNO_2

[BP-6317-X] 1968

(Γ_{ur} ; Γ_{Fe})

Tyrosenko T. U. ugp.

Укр. хим. м., 1968, 31
NII, 1200-3

KNO₂

[BP-5221-X]

1968

Tyrosinex II. U. up.

(Tr)

H. neopt. Xell., 1985,

10, N5, 1220-4.

1965

KNO₂

Yeedemann H.D. u gp.

Ber. Bunsenges Physik.
Chem., 69, 914.

K_C

(C₆H₅SO₃)₂

KNO_2

BOP 5799-X

1966

Bartholomew R.F.

T_m ,
 $H_T - H_0$

J. Phys. Chem., 1966, 70,
3442-3446.

KNO₂
832

Преображенск. Н. У.; 1966
Мезеберговъ Б. С.

Присюба

Укр. нац. муз. Курн.
1966, 32, с. 690

35

KNO₂ (K, #)

1966

Зар - 4502 - X

KNO₂

3 E259. Фазовые диаграммы нитритов натрия и калия до 40 кбар. Raport Eliezer. Phase diagrams of sodium nitrite and potassium nitrite to 40 kbar. «J. Chem. Phys.», 1966, 45, № 9, 2721—2728 (англ.)

В аппарате типа поршень-цилиндр методами дифференциального термич. анализа и регистрации смещения поршня изучены $T-P$ -диаграммы NaNO_3 и KNO_3 . В NaNO_3 обнаружено 5 фаз в твердом состоянии, в KNO_3 — 6 фаз. На кривой плавления KNO_3 установлен четкий максимум при 7,0 кбар и 466° С. Приведены $T-P$ -диаграммы, координаты тройных точек, параметры ур-ний, описывающих межфазные границы. Библ. 58.

Э. Эстрин

+1

оф. 1967. 38



NaNO₂

ВР-4502-X

1966

16 Б756. Фазовые диаграммы нитритов натрия и калия при давлениях до 40 кбар. R aropot Eliezer.
Phase diagrams of sodium nitrite and potassium nitrite to
40 kbar. «J. Chem. Phys.», 1966, 45, № 8, 2721—2728
(англ.)

Изучены фазовые диаграммы NaNO₂ и KNO₂ до 40 кбар. Фазовая диаграмма для NaNO₂ охватывает 5 твердых фаз, 1 жидкую. Отмечен сегнетоэлектрич. переход (фазовый переход III \rightleftharpoons II) и точка Нееля (переход I \rightleftharpoons II). Фазовая граница III—IV была определена путем определения изменений объема. Переход отмечается изломом на кривой сжатия NaNO₂ и, предположительно, является переходом 2 рода. Точка плавления с увеличением давления повышается. Найдена новая полиморф-

T_{c2}

до 40 кбар

Х. 1964. 16

К

ная форма $\text{NaNO}_2\text{-V}$. Ветвь фазовой границы I—V пересекается с кривой плавления в тройной точке жидкость—I—V при 9,8 кбар и 343° . На фазовой диаграмме KNO_2 присутствуют 6 твердых фаз и жидкость. Кривые фазовых границ I—II и IV—V, установленные методом ДТА, медленно повышаются при увеличении давления. Фазовые границы II—IV, I—IV и I—V определялись методом определения изменений объема в применении к врачающемуся поршню. Установлены 2 фазы высокого давления $\text{KNO}_2\text{-V}$ и $\text{KNO}_2\text{-VI}$. Кривая плавления KNO_2 имеет максимум при 7,0 кбар и 466° , пересекается с кривой фазовых границ I—V в тройной точке при 15,2 кбар и 413° и далее плавно повышается с увеличением давления.

Резюме

KNO_3
3928 | Rao K. J., 1966
Rao C. N. R.

Apuemoke | Brit. J. Appl. Phys;
1966, 17, p. 1653

[7] $KNO_3(t, w)$

Bp - 4502-X

1966

NaNO₂
KNO₂

Phase diagrams of sodium nitrite and potassium nitrite to 40 kilobars. Eliezer Rapoport (S. African Council Sci. Ind. Res., Pretoria). *J. Chem. Phys.* 45(8), 2721-8(1966)(Eng). The phase diagrams of NaNO₂ and KNO₂ were detd. to 40 kilobars. The NaNO₂ phase diagram consists of 5 solid phases and the liquid. The ferroelec. Curie point (the III-II phase transition) and the Neel point (the I-II transition) were detected by differential thermal analysis (DTA) and detd. to 40 kilobars. The results agree well with the work of Gesi and his co-workers to 10 kilobars. Points on the III-IV boundary were detd. by the vol.-discontinuity method. The transition manifests itself as a break in the slope of the compression curve of NaNO₂ and seems to be a 2nd-order transition. The transition pressures are lower than those estd. previously. The melting curve increases with pressure. A new high-pressure solid-phase, NaNO₂ V, was dis-

C.A. 1966. 65. 12
17770 ab

covered. The I-V phase boundary branches off the melting curve at the liquid-I-V triple point at 9.8 kilobars and 343° . The KNO_2 phase diagram consists of 6 solid phases and the liquid. The I-II and IV-V phase boundaries, detd. by DTA, rise very slowly with pressure. The II-IV, I-IV, and I-V boundaries were detd. by the vol.-discontinuity method with application of piston rotation. Two new high-pressure phases, KNO_2 V and KNO_2 VI, were discovered. The melting curve of KNO_2 exhibits a max. at 7.0 kilobars and 466° , meets the I-V boundary at a triple point at 15.2 kilobars and 413° , and then increases steeply with pressure.

RCJQ

KNO_2 (76.) Киржаковъ В.Ф. 1967

МСГХ,

40, № 8, 1843

м.оп.

(Cll. NANO_2) I

KNO₂

B9P-4050-X

1968

16 Б728. Зависимость превращения III \rightleftharpoons II в KNO₂[!]
от давления. Clark J. B., Rapoport Eliezer. Pressure dependence of the III-II transformation in KNO₂. «J. Chem. Phys.», 1968, 49, № 5, 2453—2454 (англ.)

Исследование проведено статич. методом от —50 до 150° с помощью ДТА. Т-ра превращения при атмосферном давл. найдена равной —7° при нагревании и —9° при охлаждении (скорость нагрева 0,4 град/сек), скрытая теплота плавления $1,2 \pm 0,2$ ккал/моль, скачок объема расчетанный по ур-нию Клаузинуса—Клапейрона $0,47 \text{ см}^3/\text{моль}$.

С. Чистов

T_{t2}

~~ΔH_{t2}~~

X 1968 16

ВР - 4050 - X

1968

KNO₂

3 Е359. Зависимость от давления фазового перехода III-II в KNO₂. Clark J. B., Rapoport Eilezer. Pressure dependence of the III-II transformation in KNO₂. «J. Chem. Phys.», 1968, 49, № 5, 2453—2454 (англ.)

Методом DTA в аппарате типа поршень — цилиндр исследован фазовый переход III-II в KNO₂ до 8 кбар. Образцы чистоты 97,5% были дважды рекристаллизованы и помещены в ампулы из Ni. Предполагается, что фазовый переход III-II связан с некоторым разупорядочением полностью упорядоченной фазы с решеткой типа NaCl. Рассчитано $\Delta V_{\text{пер}} = 0,47 \text{ см}^3/\text{моль}$.

Е. Ю. Тонков

Ф. 1969.

38

BP-3954-X

1969

KNO_3

Бродяжко Т. У. и со.

T_m

Изб. ВУЗ. Диссертация на
канд. науков., 12(1),
3-5.

T_{tr}

(алл. $LiNO_3$) I

1969

KNO₂

24 Б536. О кристаллической структуре тригональной (и кубической) фазы нитрита калия. Solbak J. K., Stromme K. O. On the crystal structure of the trigonal (and cubic) phase of potassium nitrite. «Acta chem. scand.», 1969, 23, №1, 300—313 (англ.)

рентгено-
граф.,
кристи.
синт-ра

Рентгенографически (методы качания и Вейсенберга, $\lambda \text{ Cu}-K\alpha$) изучены две полиморфные модификации KNO₂: тригон. (I), устойчивая при обычных условиях и полученная медленным выпариванием р-ра KNO₂, и низкот-рная монокл. (II), выращенная из водного р-ра KNO₂ при т-ре -20° . Параметры решеток: I, тригон., a 5,011, c 10,153 Å, ρ (эксп.) 1,917, $Z=3$, ф. гр. $R\bar{3}m$; II, монокл., (-20°) $a \cdot \sin \beta$ 4,16, b 9,62, c 6,19, β 113°, ρ (эксп.) 1,96, $Z=4$, ф. гр. $P\bar{2}_1/c$. Полная расшифровка структуры I проведена по трехмерным синтезам эле^г

X. 1969. 24

тронной плотности, построенным на основе координат атомов К, для к-рых в рамках данной ф. гр. единствен-
но возможным является положение в центрах симмет-
рии. Уточнение структуры выполнено МНК с учетом анизотропных индивидуальных тепловых поправок вплоть до $R=5,32\%$ для 60 независимых рефлексов. Группы NO_2 в I, будучи статистически неупорядочены, обладают усредненной симметрией 3. Атомы N лежат в плоскостях зеркального отражения, а атомы O несколько смещены из этих плоскостей (межатомные расстояния N—O 1,22 Å, валентные углы O—N—O 115°). Каждая группа NO_2 статистически распределена по шести положениям, что в сочетании с вращением этих групп, делает структуру сильно разупорядоченной. Кратчайшее межмолек. расстояние между группами NO_2 отвечает O—O 2,95. Каждый атом O имеет в ближайшем окружении 2 атома K (K—O 2,70). Найденный вариант структуры I весьма близок к структуре полиморфной модификации KNO_3 , устойчивой выше 128° (III). Сходство этих структур хорошо объясняет частичную р-римость III в I. Установлено, что в изученном образце I содержится 3% III (вообще в промышленном I содержится от 3 до 5% III). Построена фазовая диаграмма тройной системы I—III— H_2O при обычных условиях. Установлено, что предел р-римости III в I при 20° составляет 15%. На основе полученных данных для структуры I делаются некоторые предположения о структуре кубич. полиморфной модификации KNO_2 , устойчи-
вой выше 40° (IV). В предложенной для IV структурной модели группы NO_2 занимают два кристаллографи-
чески неэквивалентных положения. При этом атомы N находятся вблизи центра правильного октаэдра, по вер-
шинам к-рого располагаются шесть атомов K.

С. В. Рыкова

KNO₂

B9P-4947-X

1970

(39428c) Thermal studies on phase transitions in some sodium, potassium, and silver compounds. Adams, Marilyn James; House, James E., Jr. (Dep. of Chem., Illinois State Univ., Normal, Ill.). *Trans. Ill. State Acad. Sci.* 1970, 63(1), 83-5 (Eng). Enthalpies of the phase transitions in solid KNO₃, KSCN, NaNO₂, and AgNO₃ have been detd. by using differential scanning calorimetry. The corresponding enthalpies are 199 ± 2 , 397 ± 4 , 299 ± 33 , and 555 ± 5 cal/mole, resp. The enthalpies detd. for the phase transitions in AgNO₃ and NaNO₂ are in good agreement with previously reported values while those for KSCN and KNO₃ do not agree with older values. Observations are presented on the thermal changes in Na₂Cr₂O₇.2H₂O during dehydration.

RCWB

+3

C.A. 1970.

F3.8

X

KNO₂

14 Б904. Исследование взаимодействия двуокиси азота с нитритами калия и натрия. Кефер Р. Г., Амирова С. А., Киряева В. У., Мечтасова Т. А. «Сб. науч. тр. Перм. политехн. ин-т», 1970, № 71, 111—114

1970

Pt 2

В интервале т-р 100—200° с помощью гравиметрич. и хим. анализов в потоке изучена кинетика взаимодействия NaNO_2 (I) и KNO_2 (II) с NO_2 при его линейной скорости 170—1350 см/мин. Показано, что скорость р-ции может быть описана ур-нием Ерофеева. Окисление I протекает в диффузационной области и энергия активации $E=2,9$ ккал/моль. Для II отмечено скачкообразное изменение константы скорости при т-ре полиморфного превращения (127°). В низкот-рной области $E=3,4$ ккал/моль и процесс лимитируется диффузией; в области более высоких т-р процесс протекает в переходной области и имеет $E=10,3$ ккал/моль. Э. Г. Раков

X. 1971.14

KNO₂

1970

T62 (58135s) Polymorphic transformations in potassium nitrite under high pressure. Larionov, L. V.; Livshits, L. D. (Inst. Fiz. Zemli, Moscow, USSR). Izv. Akad. Nauk SSSR, Fiz. Zemli 1970, (11), 21-3 (Russ). Polymorphic transformations between modifications III and IV of KNO₂ were studied at a pressure of 15 kilobars and at -196 and +215°. Phase diagrams showing the relative disposition of the I, II, III, IV, and V phases are given.

DVJR

C. A. 1971. #4.12

KNO_2

82.4

Народушенко Р. У.; 1971
Калюшинка А. З.

Примечание

вызоб

Узб. ~~БТЗ~~ сеп. 9043;
1941, № 105

14

KNO_2 (K, #)

1972.

KNO₂,

4 E656. Кристаллография и разупорядочение фаз высокого давления в KNO₂. Pistorius C. W. F. T. Crystallography and disorder of the high-pressure phases of KNO₂. «High Temp.-High Pressure.», 1972, 4, № 1, 77—84 (англ.)

Методом измерения смещения поршня построены Т—Р диаграммы превращений V ⇌ VI и IV ⇌ V в KNO₂. Проделано рентгеноструктурное исследование фаз KNO₂ IV, KNO₂ V и KNO₂ VI под давлением, расшифрована их структура. На основании полученных данных и анализа их совместно с данными о Т—Р диаграммах и структурах фаз RbNO₂, CsNO₂ и KCN авторы приходят к выводу, что с ростом т-ры в KNO₂ образуются фазы все с меньшей степенью порядка.

А. В. Омельченко

φ. 1973. N 4.

1972.

KNO₂

6 Б457. Кристаллография и неупорядоченность фаз высокого давления KNO₂. Pistorius C. W. F. T. Crystallography and disorder of the high-pressure phases of KNO₂. «High Temp.-High Pressure.», 1972, 4, № 1, 77—84 (англ.)

Рентгеновским методом (λ Mo, камера высокого давл., съемка на плоскую кассету, расстояние образец — пленка 11 см, время экспозиции ~ 72 час.) изучены 3 модификации KNO₂, образующиеся при высоких давл. Фаза IV при $P=6$ кбар и т-ре 20° имеет ромбоэдрич. структуру, ф. гр. $R\bar{3}m$, $a = 4,05$ Å, $\alpha = 82,9^\circ$, $Z=1$, структурный тип CsNO₂ II. Нитритный ион образует эллипсоид вращения с радиусами 0,43 и 1,61 Å. Фаза IV имеет конфигурац. энтропию $S_k = R \ln 2 - R \ln 3$ и поэтому не может быть термодинамически устойчивой при высоких давл. вблизи абс. нуля. Фаза V при т-ре 88° и $P = 18,5$ кбар имеет кубич. решетку, ф. гр. $Pm\bar{3}m$, $a_0 = 3,887$ Å, $Z=1$, $S_k = R \ln 12$. Фаза VI при т-ре 75° и $P = 46$ кбар имеет тетрагон. решетку с $a = 5,530$, $c = 6,969$ Å, $Z=4$, $S_k = R \ln 4$. Приведены значения I , d , hkl рентгенограмм порошка IV, V, VI.

С. Ш. Шильштейн

*Струк.
крист.*

x. 1973.

N 6

B9 -7158-X

[3] 1872

KNO₂
20 Б413. Кристаллографические данные для KNO₂ III при -35° и KNO₂ VII при -100°. Pistorius
Саг I. W. F. T. Richter P. W. Crystallographic data
for KNO₂ III at -35°C and KNO₂ VII at -100°C. «Z.
anorg. und allg. Chem.», 1972, 389, № 3, 315—320
(англ.; рез. нем.)

Tt₂
Рентгенографическое исследование (метод порошка,
 λ Cu, низкот-рная съемка) модификации KNO₂ III, устой-
чивой ниже т-ры -13°, показало, что ранее опублико-
ванные значения параметров монокл. решетки III (см.
РЖХим, 1969, 24Б536), соотв-щие изменению объема
элементарной ячейки при переходе KNO₂ II → III на
 $\approx 18\%$ (что не согласуется с величиной энтропии пере-
хода), являются неверными. Новые полученные значе-
ния параметров монокл. решетки III (при -35°):
 a 4,677, b 9,650, c 6,395А, β 93,8°, ρ (изм.) 1,96,

X·1872·20

ρ (выч.) 1,963, $Z=4$, ф. гр. $P2_1/m$ или $P2_1$ — отвечают изменению объема ячейки при переходе II \rightarrow III только на $\sim 1\%$, что находится в хорошем соответствии с величиной энтропии перехода 19,3. Кроме III установлено наличие еще одной низкот-рной ранее неизвестной полиморфной модификации KNO_2 VII, устойчивой в диапазоне т-р от -35 до 100° и обладающей монокл. решеткой с параметрами (при -100°): $a = 8,397$, $b = 4,773$, $c = 7,664\text{\AA}$, $\beta = 112^\circ$, ρ (выч.) 1,99; $Z=4$, ф. гр. $P2_1/m$ или $P2_1$. В др. установке параметры монокл. решетки VII: $a' = 8,992$, $b' = 4,773$, $c' = 7,644\text{\AA}$, $\beta' = 120^\circ$ — весьма сходны с параметрами решетки метастабильной низкот-рной монокл. модификации KCN и связаны с параметрами решетки III простыми соотношениями: $a_{III} = 1/2 a'_{VII}$, $b_{III} = 2b'_{VII}$, $c_{III} = 1/2[102]_{VII}'$. Предполагается, что модификации III и VII упорядочены в отношении вращения групп NO_2 . Приведены значения d , I и индексы hkl рентгенограмм порошка III и VII.

С. В. Рыкова

KNO₂

1975

18 Б901. Дифференциальный термический анализ и
диэлектрическое изучение расплавленного KNO₂.

Kher V. C., Hete V. N., Deshpande D. A. Differential thermal analysis and dielectric study of fused KNO₂. «Indian J. Pure and Appl. Phys.», 1975, 13, № 10, 653—657 (англ.)

Изучены термич. св-ва, электропроводность, диэлектрич. константы и пироэлектрич. эффект для KNO₂ (I) с использованием спец. аппаратуры для исследования гигроскопич. в-в. Данные ДТА свидетельствуют о существовании фазового превращения при 65°. Превращение при 40° не наблюдалось. Зависимость диэлектрич. константы (ϵ') и проводимости от т-ры обнаруживает аномалии при 65°. Изменение ϵ' не подчиняется правилу Кюри — Вейсса. Сделан вывод, что переход при 65° является не переходом сегнетоэлектрик — паразелектрик, а переходом полярной фазы I в неполярную.

Л. Д. Исхакова

Х. 1976 № 18.

БГУ - 95-85

KNO₂

BGP-9585-X

1975

211733 Differential thermal analysis and dielectric study of fused potassium nitrite. Kher, V. G.; Hete, V. N.; Deshpande, D. A. (Phys. Dep., Inst. Sci., Nagpur, India). *Indian J. Pure Appl. Phys.* 1975, 13(10), 653-7 (Eng). DTA, elec. cond., dielec. const. (50 Hz), and pyroelec. effect of KNO₂ were studied, using a specially developed technique for keeping the highly hygroscopic substance dry during measurement. DTA shows the occurrence of a reversible transformation at 65°. The cond. and dielec. const. measurements also show an anomaly at 65° in a fused crystal of KNO₂. KNO₂ is pyroelec. below its transition temp. The general decrease in the dielec. const. with decreasing temp. and the absence of a dielec. hysteresis loop for elec. fields up to 10 kV/cm indicate that the 65° transition is not a ferroelec.-paraelec. transition. The dielec. anomaly is explained on the basis of the polar character of KNO₂ below the transition temp.

C.A. 1975. 83

N 26

KNO_2

* 45-10583

1975

Adams David

фазовый
переход

"Chem Phys Lett" 1975,
36, n3, 407-409 (авн)

(ав NaNO_2 ; I)

1976

 KNO_2 $RbNO_2$ $CsNO_2$ $4Hg, 0Hg used$

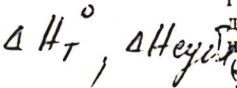
EE: 22101m Mass-spectrometric study of evaporation of potassium, rubidium, and cesium nitrites. Verkhoturov, E. N.; Makarov, A. V.; Nikitin, O. T. (Mosk. Gos. Univ., Moscow, USSR). *Vestn. Mosk. Univ., Khim.* 1976, 17(3), 299-303 (Russ). The evapn. of MNO_2 ($M = K, Rb$, and Cs) was studied by mass spectrometry at 670-730°K. The M^+ , MO^+ , MNO^+ , M_2^+ , MNO_2^+ , MO_2^+ , M_2NO^+ , and $M_2NO_2^+$ ions were detected, of which the M^+ and MO^+ ions are formed from the monomer and M_2O^+ and $M_2NO_2^+$ from dimer mols. The evapn. coeffs. of monomer and dimer mols. were detd. and the vapor pressure was measured as a function of temp. From the exptl. data, the heats of sublimation of monomer and dimer mols. and heats of dimerization in a gas phase were derived for MNO_2 at 607-675, 623-685, and 576-660°K for K, Rb, and Cs, resp. The absence of the alkali metal oxides in the vapors indicated that no significant decomprn. of the nitrites occurred in this temp. range. The expts. showed, that the nitrites behave as pseudofluorides and undergo pronounced dissociative ionization. K. V. Aim

(+) 2

II

e.A. 1977 86 NY

1976



(+2) 8

X 1977 N 2

2 Б824. Масс-спектрометрическое изучение испарения нитритов калия, рубидия, цезия. Верхотуров Е. Н., Макаров А. В., Никитин О. Т. «Вестн. Мокс. ун-та. Химия», 1976, 17, № 3, 299—303 (рез. англ.)

В интервале т-р 576—675 К методом Кнудсена на масс-спектрометре исследован процесс испарения нитритов MNO_2 ($M=K, Rb, Cs$) соотв. (I—III). В масс-спектре I—III наиболее интенсивны линии M^+ , $M_2NO_2^+$, MO^+ . I—III при т-рах эксперимента испаряются конгруэнтно в виде молекул MNO_2 (газ.). Содержание димеров $(MNO_2)_2$ (газ.) составляет 1%. По 2-му закону определены энталпии ΔH_T° диссоциации по р-ции $(MNO_2)_2$ (газ.) $\rightleftharpoons 2MNO_2$ (газ.) для I—III соотв. $28,8 \pm 0,8$; $28,3 \pm 0,6$; $27,5 \pm 0,8$ ккал/моль. Показано, что при т-рах, превышающих эксперим. на $\sim 50^\circ$, начинается разл. I—III с образованием окислов M_2O . Средн. энталпии сублимации мономеров I—III равны соотв. $39,8 \pm 0,8$; $38,7 \pm 0,4$ и $38,6 \pm 0,4$ ккал/моль. М. В. Коробов

KNO₂

1976

Schawari R. et al.

High Temp. - High Pressures
1976, 8(1), 65-71

(synthetic
KNO₂)
 $p = 5 \text{ kbar}$

T

(cell. ligatrices interpr.)
Fe NO₃

1976

KNO_3-KJF_3 Vinogradov E. E.,
Kirilenko I. A.

газоб.
гидр.

Zh. Neorg. Khim., 1976,
21(4), 1157-9.

● $(KLiNO_3-LiJF_3)$

$KNO_2(K)$ Бирюсово 8. II. 1978
205

Авторег. зас. Калуг. хим-техн.
М.: МГУ, 1978

204

KNO_3 (K)

$$\Delta H_s$$

KNO₂

Bsp - 138°0 - x

79/8

11 E643. Калориметрическое исследование полиморфизма нитрита калия. M graw S. C., Boak R. J., Staveley L. A. K. A calorimetric investigation of the polymorphism of potassium nitrite. «J. Chem. Thermodyn.», 1978, 10, № 4, 359—368 (англ.)

Теплоемкость чистого KNO₂ измерена между 10 и 476° К. Определены т-ры T_t , изменения энтальпии ΔH_t и энтропии ΔS_t для полиморфных переходов между моноклинной (III) ромбоэдрической (II) и кубической (I) фазами. Переходу III \rightleftharpoons II соответствуют $T_t = 264,1^\circ\text{K}$, $\Delta H_t = 5048 \text{ дж}\cdot\text{моль}^{-1}$, $\Delta S_t = 23,54 \text{ дж}\cdot\text{моль}^{-1} \text{ K}^{-1}$ и переходу II \rightleftharpoons I $T_t = 314,7^\circ\text{K}$, $\Delta H_t = 2107 \text{ дж}\cdot\text{моль}^{-1}$, $\Delta S_t = 7,01 \text{ дж}\cdot\text{моль}^{-1} \text{ K}^{-1}$. Оба превращения могут происходить в изотермич. условиях и частично перекрываются. Нижний переход начинается при $\sim 90^\circ\text{K}$ и растянут на интервал $\sim 170^\circ$. Суммарная энтропия переходов III \rightleftharpoons II и II \rightleftharpoons I $\Delta S \simeq R \ln 32$ согласуется с 32 возможными ориентациями иона NO₂⁻ в неупорядоченной фазе I.

В. Половов

Ф. 1978, VIII

KNO₂

Bp-1380-X

1978

89: 31795c A calorimetric investigation of the polymorphism of potassium nitrite. Mraw, S. C.; Boak, R. J.; Staveley, L. A. K. (Inorg. Chem. Lab., Univ. Oxford, Oxford, Engl.). *J. Chem. Thermodyn.* 1978, 10(4), 359-68 (Eng). The heat capacity of KNO₂ [7758-09-0] was measured at 10-476 K, using a sample prep'd. to be as free from nitrate as possible. The following values were obtained for the transition temp. T_r , the enthalpy of transition ΔH_r , and the entropy of transition ΔS_r : lower transition (III = II), $T_r = 264.1$ K, $\Delta H_r = 5048$ J mol⁻¹, $\Delta S_r = 23.54$ JK⁻¹ mol⁻¹; upper transition (II = I), $T_r = 314.7$ K, $\Delta H_r = 2107$ J mol⁻¹, $\Delta S_r = 7.01$ JK⁻¹ mol⁻¹. Last two values should be regarded as lower limits. Both transitions are partly gradual, and to some extent they overlap. The lower transition appears to be very extended, beginning at about 90 K. There

TP, Ter,
Htr, Setz

C.A. 1978, 89, N.Y

was no sign of the other transitions which have been reported for this salt. In forms II and I the nitrite ions are known to be orientationally disordered. It has previously been suggested on crystallog. evidence that in phase I each nitrite ion has 32 distinguishable orientations available to it. Since the sum of our values for the entropy gains at the two transitions is about 6 per cent larger than $R \ln 32$, our results are consistent with the possibility that the anions in phase I make virtually full and independent use of 32 orientations.

KNO₂

20 Б811. Калориметрическое исследование полиморфизма нитрата калия. Mgaw S. C., Boak R. J., Staveley L. A. K. A calorimetric investigation of the polymorphism of potassium nitrite. «J. Chem. Thermodyn.», 1978, 10, № 4, 359—368 (англ.)

m. g. сб. бб

В интервале т-р 10—476 К измерена теплосемкость KNO_2 . Рассчитаны и табулированы с шагом 10° термодинамич. функции C_p , S^0 , $H_t^0 - H_0^0$ и $-(G_t^0 - G_0^0)/T$, составившие при 298,15 К соотв. 107,4; 152,1 дж/моль·град, 20 380 дж/моль и 68,50 дж/моль·град. Значения т-р, энタルпий и энтропий фазовых переходов составили: $\text{kIII} \rightarrow \text{kII}$ 264,1 К, 5048 дж/моль и 23,54 дж/моль·град, $\text{kII} \rightarrow \text{kI}$ 314,7 К, 2107 дж/моль и 7,01 дж/моль·град. Последние два значения приняты как нижние пределы. Оба перехода отчасти ступенчатые и в нек-рой степени перекрываются. Низкот-рный переход очень «размыт» и начинается около 90 К. Не зафиксировано никаких признаков др. переходов, сообщавшихся в лит-ре для KNO_2 . В фазах kII и kI нитрит-ионы ориентационно полностью разупорядочены. В фазе kI по кристаллографич. данным каждому нитрит-иону доступны 32 различные ориентации. Это соответствует полученным термохим. характеристикам фазовых переходов: сумма энтропий обоих переходов на 6% больше, чем $R \ln 32$.

А. Б. Киселевский

16/3
Б80-1300-1

Х-1948, №20

оттиск 11104 1979

КНУ (а.г.)

4 Б1533 Деп. Интегральные теплоты растворения нитрита калия в воде при 25° С. Андреева Т. А., Голованова Т. Г., Бондаренко Н. Б. Ростов. ин-т с.-х. машиностр. Ростов-на-Дону, 1979, 9 с., библиогр. 7 назв. (Рукопись деп. в ОНИИТЭХИМ г. Черкассы 12 окт. 1979 г. № 3130/79 Деп.)

Определены интегральные теплоты р-рения нитрита калия в воде в интервале конц-ий от 0,5 Мл до насыщ. р-ра при 25° (максим. относит. погрешность 0,8%). Данные интегральных теплот р-рения аппроксимированы четырьмя эмпирич. ур-ниями. Каждому участку изотермы соответствует определенная структура р-ра. Полученные результаты согласуются с данными физ.-хим. измерений. Границы структурных переходов в р-ре, установленные разными методами, близки между собой.

Резюме

2.1980.114

г.Черкассы УССР

ул.Шевченко 205,
ОНИИТЭХИМ

KNO_2

Верхогорьев Е.Н.

1928

канд. физ., МГУ

$$\Delta H_{tz}(50^\circ\text{C}) = 0,40 \text{ ккал/моль}$$

$$\Delta H_m(711^\circ\text{K}) = 4,0 \pm 0,3 (\pm 0,5) \text{ ккал/моль}$$

KNO_2

1979

Верхомурзоб. E. A.
"ugp."

(LiF)

Вестн. МГУ. Химия,
1979, № 6, 535-38

• (см. $LiNO_2$, ?)

KNO_2

1980

Servintsev P. A. et al

Ukr. Khim. Zh. 1980,
46(?), 496-20

T_{tr}



Cu KNO_3 ; I

KNO₂

1980

Верхнотургай E. H.
"НГР."

Узб. СССР, Ср. морф.,
шамп.; 1980, № 19),
1688-9

● (ав. LiNO₂; -)

(4Hm)

KNO_2

1982

Башева А. А., к. гр.

Точ. ии-м преска. осенний.

Л., 1981. 17с., чл. Бердянск.
16 назв. (Рук. пер. б)

ОНИИТЕХИМ?. Черкассы
13 ~~нояб.~~ янв. 1982 г., N132хп
—Д82).

(см. $NaNO_2$; II)

KNO_2

1982

Kramer P.M., et al.

ΔH_m ,
 T_m

Thermochim. acta.,
1982, 55, n1, 11-17.

(c.c. $NaNO_3$; ?)

KNO₂

Lommel 13789

1982

Kramer C. M.,

Trzeciakow. Murir Z.A., et al.

(Kryvutain) Thermochim. acta,
1982, 55, N1, 11-14.

KND₂

[OM. 18498]

1983

Kramer C. M., Kleinir Z. A.,
et al.,

J. Therm. Anal., 1983,
27, N2, 401-408.



KNO_2

(OM. 30095)

1988

Moriya K., Matseeo T.,
Suga H.,

Thermochim. acta,

1988, 132, 133-140.



KNO₂

1988

109: 201933z A Raman investigation of the polymorphism of potassium nitrite. Tse, W. S.; Fang, C. S.; Pai, K. F.; Lih, W. (Inst. Phys., Acad. Sin., Taipei, Taiwan). *Phys. Status Solidi B* 1988, 147(2), 791-5 (Eng). Raman spectra of cryst. KNO₂ in the region of lattice and anion internal modes were obtained at 80-480 K. The temp. dependent results are consistent with the x-ray and calorimetric work that 2 transitions occur around 170 and 265 K, resp.

T_{tr};

c.A.1988, 109, N 22

KNO₂

1988

24 Б3120. Исследование полиморфизма нитрита калия методом комбинационного рассеяния. A gamma investigation of the polymorphism of potassium nitrite.

Tse W. S., Fang C. S., Pai K. F., Lih W. «Phys. status solidi», 1988, B147, № 2, 791—795 (англ.; рез. нем.)

В диапазоне т-р 80—500 К методом спектроскопии КР (Kr⁺ лазер, мощность 0,3—0,4 Вт на линии 647,1 нм) в спектральной обл. 750—1400 см⁻¹, включающей решеточные и внутримолек. колебания, исследована фазовая диаграмма KNO₂. Поскольку в спектрах кубич. фазы I и ромбоэдрич. фазы II (между 300 и 480 К) не наблюдается четких решеточных мод, то эти фазы являются разупорядоченными за счет 32 (I) и 6 (II) возможных ориентаций ионов NO₂⁻. После перехода при 265 К в фазу III ориентац. разупорядочение NO₂⁻ исчезает. Не наблюдается резких изменений внутренних мод во всей обл. т-р. Сильные и резкие изменения интенсивностей валентных мод ν_1 и ν_2 при 260 и 170 К соотв-вуют структурным фазовым переходам II—III и III—VII (лит. данные методов РФА и калориметрии).

В. А. Ступников

Pt2

X. 1988, N 24

KNO_2 1990

Rasporiz S.P.,
Pyatkov V.I. et al.

mesuree-

кое

размере-

лее

Otkrytiya Izobret.
1990, (6), 194.

(c.e. $NaNO_2$; ?)

KNO₂

1990

9 Б2049. Ориентационная разупорядоченность в кубической фазе KNO₂. Orientational disorder in the cubic phase of KNO₂ / Schiebel P., Altenburger W., Hoser A., Prandl W. // Z. Kristallogr.— 1990.— 190, № 1—2.— С. 63—74.— Англ.

Проведен РСТА высокот-рной фазы KNO₂ (I) при 393 К (λ Mo, 47 рефлексов, R 7,5%). Параметры кубич. решетки a 6,7 Å, ф. гр. $Fm\bar{3}m$, Z 4, ρ 1,87. Числовые и динамич. факторы позволяют выбрать динамич. модель ориентац. разупорядоченности в I, т. е. непрерывной модели.

Л. А. Бутман

X·1991, № 9

KNO₂

Berko J.; Vollarova O., 1992

Collect. Czech. Chem.
Commun. 1992, 57 (II),

(Sflgln.) 2227-84.

[all]



NasGN; (I)

KNO₂

Он 36976

1993

,) 22 Б3109. Фазовые переходы в твердом нитrite калия по данным ультраакустики /Беломестных В. Н. //Неорган. матер. .—1993 .—29 ,№ 1 .—С. 100—103 .—Рус.

Исследован и сопоставлен с лит. данными по теплопроводности т-рный спектр акустич. параметров KNO₂ в интервале 77—640 К. Подтверждены известные структурные фазовые переходы (ФП) I рода типа порядок — беспорядок вблизи ~264, ~315 К, а также в интервале 125—250 К. Обнаружены аномалии V и Q⁻¹ при 335 К (нагревание), 333 К (охлаждение) и обсуждена связь этих аномалий с ФП в KNO₂ при T_c=343 К. Установлено, что при циклированном изучении перехода II ⇌ I предположительно образуется промежуточная ранее неизвестная фаза, область существования к-рой составляет ~1 К при нагревании и ~10 К при охлаждении. В процессах превращения фаз зарегистрировано акустич. расщепление, свидетельствующее о существовании структурных форм II и I нитрита, в том числе вблизи комн. температур.

(T_{I2})

X-1993, N 22-24

KNO₂

№ 36976

1993

4 E520. Фазовые переходы в твердом нитrite калия по данным ультраакустики / Беломестных В. Н. // Неорган. матер. — 1993. — 29, № 1. — С. 100—103. — Рис.

Исследован и сопоставлен с литературными данными по теплоемкости температурный спектр акустич. параметров KNO₂ в интервале 77—640К. Подтверждены известные структурные фазовые переходы (ФП) I рода типа порядок—беспорядок вблизи —264, —315К, а также в интервале 125—250К. Обнаружены аномалии v и Q^{-1} при 335К (нагревание), 333К (охлаждение), и обсуждена связь этих аномалий с ФП в KNO₂ при $T_c=343$ К. Установлено, что при циклировании предположительно образуется промежуточная ранее неизвестная фаза, область существования которой составляет ~ 1 К при нагревании и ~ 10 К при охлаждении. В процессах превращения фаз зарегистрировано акустич. расщепление, свидетельствующее о существовании структурных форм II и I нитрита, в том числе вблизи комнатных температур.

(T_c)

cf. 1993, N 4

KNO₂

1998

KNO₂

P: 1

13Б223. Изучение низкотемпературных фаз KNO₂ дифракцией нейtronов. Neut powder diffraction study of the low-temperature phases of KNO₂ / Onoda-Yamamuro N., Honda H., Ikeda R., Yamamuro O., Matsuo T., Oikawa K., Kamiyama T., Izumi F. // J. Phys.: Condens. Matter. - 1998. - 10, 15. - С 3341-3351. - Англ.

*намор-
физм*

Выполнены измерения порошковой дифракции нейtronов на KNO₂ в фазе III (К) и фазе II (280 К). Структура фазы III (4 К) монокл., ф. гр. P2[1]/c; а 4,4010, b 9,6967, c 6,9817 Å, 'бета' 108,274°; Z 4; R[B] 1,44%, R[wp] 4,3 для 3348 профильных точек. Оба иона K{+} и NO{−}[2] расположены в общих

позициях, все ионы NO^- [2] кристаллографически эквивалентны с полностью упорядоченными ориентациями (N-O 1,250-1,256 Å, угол O-N-O 116,9°). Ионы окружены 6 атомами O (K-O 2,723-2,912 Å). При повышении температуры зафиксированы аномальные температурные смещения ионов NO^- [2], отражающие постепенное заметное развитие их ориентационного беспорядка в фазе III. Структура фазы II ромбоэдрич., ф. гр. R3m; $a = 5,02790$, $c = 10,05587$ Å; $Z = 3$; $5,42\%$, $R[\text{wp}] = 3,88\%$ для 3805 профильных точек. Ориентация ионов NO^- [2] (1,18 Å) сильно неупорядочена относительно оси 3. Полученные результаты полностью совместимы с известными калориметрическими, ЯМР и диэлектрическими данными.

KNO₂

2001

T_{tr}
pacem

F: KNO₂ (T_{tr} , *pacem*)

P: 1

02.02-19Б3.94. Молекулярно-динамическое исследование фазовых переходов порядок-беспорядок в кристаллах KNO₂, CsNO₂ и TlNO₂. Order disorder phase transitions in KNO₂, CsNO₂, and TlNO₂ crystals: A molecular dynamics study / Duan Chun-gang, Mei W. N., Smith R. W., Liu Jianjun, Oss M. M., Hardy J. R. // Phys. Rev. B : Third Series. - 2001. - 63, N 14. - 144105/1-144105/6. - Англ.

Фазовые переходы порядок-беспорядок кристаллов KNO₂, CsNO₂ и TlNO₂ исследованы с использованием безпараметрического метода молекулярно-динамического моделирования. Найдено, что фазовые переходы в исследованных нитритах возбуждаются вращением ионов NO⁻[2] около различных осей одновременно со смещениями

катионов и анионов. Успешно воспроизведен высокотемпературные фазы для этих нитритов, т. е. структура, подобная структуре NaCl , для KNO_2 и структура, подобная структуре CsCl , для $\text{Cs}(\text{Tl})\text{NO}_2$. На основе результатов исследования функции радиального распределения катионов и анионов предложено объяснение, почему KNO_2 и $\text{Cs}(\text{Tl})\text{NO}_2$ образуют совершенно разные низкотемпературные фазы. Библ. 15.

KNO₂

2001

*фазовый
переход
при
высоких
давл.*

F: KNO₂
P: 1

(фазовый переход при высоких давл.)

02.08-19Б3.91. Структура нитрита калия при 300 К и высоком давлении. The structure of potassium nitrite at 300 K and high pressure / Knorr K., Hof M. // Ber. Hahn-Meitner-Inst. - 2001. - N 576. - С. 103. - Англ.

С использованием нейтронографии с высокой разрешающей способностью исследована структура нитрита калия при 300 К и высоком давлении до 1,5 ГПа. Подтверждён структурный переход в фазу более низкой симметрии при давлениях выше 0,6 ГПа. Показано, что сжатие в интервале давлений от атмосферного до 0,6 ГПа может быть описано уравнением состояния Бирча-Мурнагана второго порядка. Библ. —